



А.П.Васильев

КРИВАЯ ИНВЕРСИИ ПРОЦЕССА ДЖОУЛЯ-ТОМСОНА ДЛЯ ГАЗА ДИТЕРИЧИ

Рассматривается эффект адиабатического дросселирования Джоуля-Томсона. В качестве термического уравнения состояния выбрано двухпараметрическое второе уравнение Дитеричи. Методом малого параметра отыскивается уравнение кривой инверсии реального газа в плоскости P , T . Приводится сравнение с результатами расчета на основе двухпараметрического уравнения состояния реального газа ван-дер-Ваальса, а также с экспериментальными данными.

Необратимый процесс адиабатического дросселирования газов находит широкое применение в различных технологических процессах газовой промышленности и представляет значительный интерес для технологов. Однако в литературе отсутствует исследование этого процесса на базе второго уравнения термического состояния реального газа Дитеричи [1].

В данной работе проводится термодинамический анализ процесса адиабатического дросселирования и дается вывод уравнения кривой инверсии для газа Дитеричи.

1. Коэффициент Джоуля-Томсона α_i (дифференциальный дроссель-эффект), определяющий температуру необратимо расширяющегося газа в конце адиабатического процесса дросселирования, как известно [2], дается следующим выражением:

$$\alpha_i = \left(\frac{\partial T}{\partial P} \right)_i = \frac{1}{C_P} \left[T \left(\frac{\partial v}{\partial T} \right)_P - v \right]. \quad (1)$$

Здесь все обозначения общеприняты в технической термодинамике [2], а индексы i и p означают постоянство энталпии и давления.

Множество точек на диаграмме состояний (v, p) или (p, T), в которых дифференциальный дроссель-эффект обращается в ноль, образует кривую инверсии процесса адиабатического дросселирования газа.

Как известно, процесс Джоуля-Томсона проявляет себя только на реальном газе. Одним из термических уравнений состояния реальных газов является двухпараметрическое уравнение Дитеричи [1]:

$$P + \frac{a}{v^5} = R_\mu T, \quad (2)$$

в котором параметры a и b , также как и в уравнении состояния ван-дер-Ваальса, характеризуют силы взаимного притяжения между молекулами и их собственный объем.

2. Параметры уравнения Дитеричи a и b могут быть найдены по критическим параметрам состояния газа P_{kp} и T_{kp} . Действительно, в критической точке выполняются условия:

Уравнение (2) и условия (3) приводят к следующей системе уравнений:

$$\left(\frac{\partial P}{\partial v} \right)_{kp} = 0, \quad \left(\frac{\partial^2 P}{\partial v^2} \right)_{kp} = 0. \quad (3)$$

$$\left(P_{kp} + \frac{a}{v_{kp}^5} \right) (v_{kp} - b) = R_\mu T_{kp},$$

$$\left(\frac{\partial P}{\partial v} \right)_{kp} = - \frac{R_\mu T_{kp}}{(v_{kp} - b)^2} + \frac{5}{3} \frac{a}{v_{kp}^3} = 0, \quad (4)$$

$$\left(\frac{\partial^2 P}{\partial v^2} \right)_{kp} = 2 \frac{R_\mu T_{kp}}{(v_{kp} - b)^3} - \frac{40}{9} \frac{a}{v_{kp}^{11/3}} = 0,$$

решая которую, получим:

$$a = \frac{32 \sqrt[3]{30}}{225} (R_\mu T_{kp})^{5/3} / (P_{kp})^{2/3} = \alpha (R_\mu T_{kp})^{5/3} / (P_{kp})^{2/3},$$

$$b = \frac{1}{15} \frac{R_\mu T_{kp}}{P_{kp}} = \beta \frac{R_\mu T_{kp}}{P_{kp}},$$

$$v_{kp} = \frac{4}{15} \frac{R_\mu T_{kp}}{P_{kp}} = \gamma \frac{R_\mu T_{kp}}{P_{kp}},$$

где коэффициенты пропорциональности равны: $\alpha = 9,44$; $\beta = 0,067$; $\gamma = 0,267$.

По уравнению состояния (2) можно вычислить частную производную v'_T , подставив которую в (1) и исключив температуру из полученного выражения с учетом (2), найдем уравнение кривой инверсии в переменных P и v :

$$v^{5/3} - \frac{5a}{3bP} v + \frac{8a}{3P} = 0. \quad (5)$$

3. Необходимо отметить, что анализ процесса Джоуля-Томсона удобнее всего вести по уравнению кривой инверсии в интенсивных параметрах состояния P и T . В связи с этим произведем замену переменных в уравнении (5), что связано с решением данного уравнения относительно удельного объема v . При этом обратим внимание на одну особенность уравнения (5), позволяющую найти его приближенное решение, поскольку точное решение данного уравнения весьма громоздко и не представляет интереса.

Так, в частности, для азота критические параметры составляют: $T_{kp}=126$ К, $P_{kp}=3,39$ МПа, тогда по уравнению (4) параметры уравнения Дитеричи для этого газа будут равны: $a=819,5$ и $b=7,358 \cdot 10^{-4}$ м³/кг. При дросселировании газа в среду с атмосферным или большим давлением свободный член уравнения (5) $\mu=(8a)/(3P)$ становится малым $\mu \sim 10^{-2}$,

поэтому решение уравнения (5) можно искать по методу малого параметра [3].

Подстановка $t=v^{1/3}$ позволяет привести уравнение (5) к рациональному виду

$$t^5 - \frac{5a}{3bP} t^3 + \mu = 0, \quad \mu = \frac{8a}{3P}. \quad (6)$$

При малых значениях параметра $\mu \rightarrow 0$ уравнение имеет два "нулевых" корня:

$$t_0^{(1)} = \sqrt[3]{\frac{5a}{3bP}}, \quad t_0^{(2)} = 0,$$

причем, второй корень легко уточняется с учетом того, что при $t \rightarrow 0$ $t^5 \ll t^3$, тогда

$$t_0^{(2)} = \sqrt[3]{\frac{3bP}{5a}} \sqrt[3]{\mu} = \beta \sqrt[3]{\mu}$$

Точные решения уравнения (6) будем искать в окрестности "нулевых" решений $t_0^{(1)}$ и $t_0^{(2)}$. Существование этих корней иллюстрирует график на рис.1, показывающий зависимость левой части (5) от величины удельного объема для азота при разных P .

Следуя методу малого параметра, представим первое решение уравнения (6) вблизи корня $t_0^{(1)}$ в виде степенного ряда по малому параметру μ :

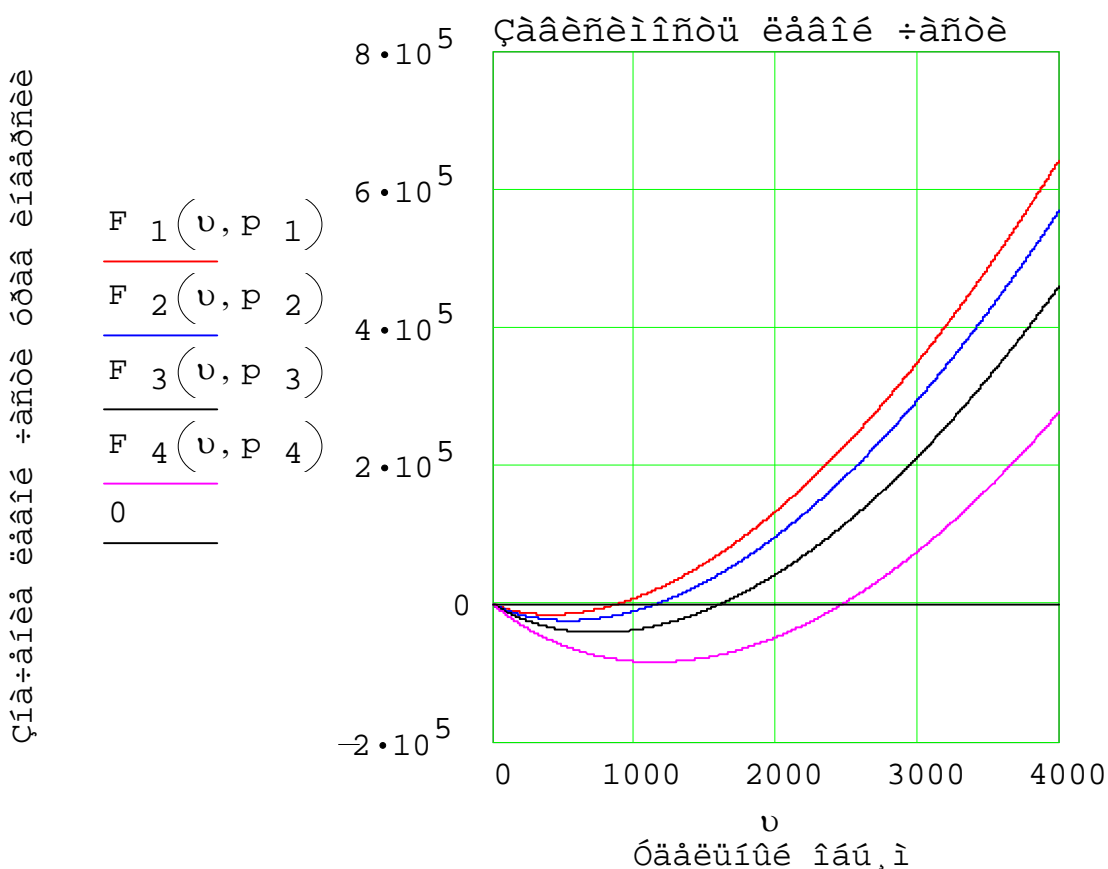


Рис.1. Зависимость левой части уравнения (5) от удельного объема для различных давлений: кривая 1- $P=0.006*P_{kp}$, 2- $0.005*P_{kp}$, 3- $0.004*P_{kp}$, 4- $0.003*P_{kp}$.

$$t_1 = t_0^{(1)} \left(1 + A_1 \mu + A_2 \mu^2 + A_3 \mu^3 + \dots \right) = t_0^{(1)} \sum_{n=0}^{\infty} A_n \mu^n, \quad (7)$$

где коэффициент $A_0 = 1$.

Подставляя в уравнение (6) t_1 и вводя новую неизвестную $X = t_1/t_0^{(1)}$, приведем уравнение инверсии к виду:

$$\text{где } \alpha = 1/[t_0^{(1)}]^5.$$

Далее заменяем в этом выражении X с учетом (7) и приравниваем коэффициенты при

$$X^5 - X^3 + \mu\alpha = 0,$$

одинаковых степенях малого параметра μ , тогда получим следующую цепочку алгебраических уравнений для нахождения неизвестных коэффициентов A_n ряда (7)

$$2A_1 + \alpha = 0,$$

$$2A_2 + 7A_1^2 = 0,$$

$$2A_3 + 14A_1A_2 + 9A_1^3 = 0,$$

$$2A_4 + 5A_1^4 + 7A_2^2 + 27A_1^2A_2 - 14A_1A_3 = 0,$$

.....

откуда последовательно можно вычислить первые коэффициенты A_n :

$$A_1 = -\frac{1}{2}\alpha, \quad A_2 = -\frac{7}{8}\alpha^2, \quad A_3 = -\frac{5}{2}\alpha^3, \quad A_4 = -\frac{1105}{128}\alpha^4, \dots,$$

тогда первый корень уравнения уравнения (5) примет вид:

$$v_1 = \left(\frac{5a}{3bP} \right)^{3/2} \left(1 + A_1 \mu + A_2 \mu^2 + A_3 \mu^3 + \dots \right)^3. \quad (8)$$

Второй корень уравнения (5) будем искать также в виде ряда по степеням параметра μ :

Подставляя ряд (9) в уравнение (6) и сравнивая коэффициенты при одинаковых степенях μ , найдем, что все коэффициенты с нечетными индексами обращаются в ноль, т.е. $B_{2n-1} = 0$, а для коэффициентов с четными индексами получим следующую систему

$$t_1 = t_0^{(2)} \left(1 + B_1 \mu^{1/3} + B_2 \mu^{2/3} + B_3 \mu^{3/3} + \dots \right) = \\ = \beta \mu^{1/3} \sum_{n=0}^{\infty} B_n (\mu^{1/3})^n, \quad B_0 = 1. \quad (9)$$

рекуррентных уравнений:

$$-3B_2 + \beta^5 = 0,$$

$$5\beta^5 B_2 - 3B_4 - 3B_2^2 = 0,$$

$$-4B_2 B_4 - 3B_6 - B_2 (2B_4 + B_2^2) + \beta^6 (5B_4 + 10B_2^2) = 0,$$

откуда последовательно найдем несколько первых коэффициентов ряда

$$B_2 = \frac{1}{3}\beta^5, \quad B_4 = \frac{4}{9}\beta^{10}, \quad B_6 = \frac{65}{81}\beta^{15},$$

где параметр β задачи определен выражением

$$\beta = \left(\frac{3bP}{5a} \right)^{1/3}.$$

С учетом этих выражений второе решение уравнения (5) можно представить в виде:

$$v_2 = t_2^{(3)} = \beta^3 \mu \left(1 + \sum_{n=1}^{\infty} B_{2n} (\mu^{1/3})^{2n} \right)^3 = \frac{8}{5} b \left(1 + \sum_{n=1}^{\infty} B_{2n} \mu^{\frac{2n}{3}} \right)^3. \quad (10)$$

Обратим внимание на тот факт, что оба решения (8) и (10) для данного газа зависят только от давления, т.е. $v_1 = v_1(P)$, $v_2 = v_2(P)$.

Полученные решения позволяют найти уравнение кривой инверсии газа Дитеричи в переменных (P, T) , если заменить в уравнении состояния Дитеричи удельный объем v либо по решению (8), либо по решению (10), т.е.

$$T_1 = \frac{1}{R_\mu} \left(P + \frac{a}{[v_1(P)]^{5/3}} \right) (v_1(P) - b), \quad (11)$$

$$T_2 = \frac{1}{R_\mu} \left(P + \frac{a}{[v_2(P)]^{5/3}} \right) (v_2(P) - b).$$

Эти функции описывают две ветви инверсионной кривой, как и в случае газа вандер-Ваальса.

4. Найдем параметры критической точки на кривой инверсии газа Дитеричи. Формально это задача сводится к решению уравнения:

$$\left(\frac{\partial P}{\partial T} \right)_{in*} = 0,$$

но такой подход ведет к громоздким выкладкам, и не применим к приближенным решениям (11). Проще всего использовать тот очевидный (рис.2) факт, что в критической точке (параметры отмечены *) на кривой инверсии (in) оба решения $v_1(P)$ и $v_2(P)$ должны совпадать и, кроме того, давление в этой точке P_{in*} должно быть наибольшим из всех возможных. При этом условии формально полагая в (8) и (10) $P \rightarrow \infty$ и удерживая в (8) коэффициент $(5/3)a/(bP)$ с учетом условия, что $\mu \rightarrow 0$ при $P \rightarrow \infty$, для удельных объемов в критической точке можно получить следующие выражения

$$v_{1*} = \left(\frac{5}{3} \frac{a}{b P_{in*}} \right)^{3/2}, \quad v_{2*} = \frac{8}{5} b.$$

Приравнивая правые части этих выражений, а также учитывая выражения (8) и (10), найдем параметры состояния в критической точке на кривой инверсии:

$$P_{in*} = \frac{5}{3} \sqrt[3]{\frac{25}{64}} \frac{a}{b^{\frac{5}{3}}}, \quad T_{in*} = \frac{11}{8} \sqrt[3]{\frac{25}{64}} \frac{a}{b^{\frac{2}{3}}}, \quad v_{in*} = \frac{8}{5} b.$$

В частности, для азота, у которого $a=819,5$ и $b=7,358 \cdot 10^{-4}$, вычисления по этим формулам дают следующие значения: $P_{in*}=166,4$ МПа, $T_{in*}=92,6$ К, $v_{in*}=1,18 \cdot 10^{-4}$ м³/кг, или в приведенном виде:

$$\frac{T_{in*}}{T_{kp}} = 0,735 \quad \frac{P_{in*}}{P_{kp}} = 49,1.$$

Другой характеристикой инверсионной кривой газа Дитеричи, так же как и ван-дерваальсовского газа, являются температуры T_a и T_b , при которых кривая инверсии пересекает ось давлений, причем T_a определяется левой ветвью $v_1(P)$, а T_b - правой $v_2(P)$.

Для нахождения этих температур, имеющих место при малых P , нельзя использовать решения уравнения (5) в форме (8) или (10), поскольку они получены в предположении малости параметра μ . При малых P этот параметр не удовлетворяет условию малости, а ряды (8) и (10) становятся расходящимися.

Вследствие этого найдем решение уравнения (5) при малых давлениях, для чего умножим его на $P^{5/3}$ и приведем к виду:

$$(Pv)^{\frac{5}{3}} - \frac{5}{3} \frac{a}{b^{\frac{3}{5}} P} (Pv) + \frac{8}{3} a^{\frac{3}{5}} \sqrt{P^2} = 0.$$

Полагая здесь $Z^3 = Pv$, перепишем уравнение в виде

$$Z^5 - \frac{5}{3} \frac{a}{b^{\frac{3}{5}} P} Z^3 + v = 0, \quad (12)$$

где параметр v , равный

$$v = \frac{8}{3} a^{\frac{3}{5}} \sqrt{P^2},$$

становится малым при $P \rightarrow 0$, поэтому решение уравнения (12) можно искать тем же методом.

При $v=0$ уравнение (12) имеет два "нулевых" решения (третье тривиальное):

$$Z_0^{(1)} = \sqrt[5]{\frac{5a}{3b^{\frac{3}{5}}P}}, \quad Z_0^{(2)} = \sqrt[3]{\frac{3b^{\frac{3}{5}}P}{5a}} = kv^{\frac{1}{3}},$$

в окрестности которых можно искать точные решения методом малого параметра.

Первое решение представим вблизи $Z_0^{(1)}$ так:

$$Z_1 = Z_0^{(1)} (1 + C_1 v + C_2 v^2 + \dots) = Z_0^{(1)} \sum_{n=1}^{\infty} C_n v^n \quad (13)$$

или же, обозначив через $X = Z_1/Z_0^{(1)}$, преобразуем (12) к виду:

$$X^5 - X^3 + \frac{v}{[Z_0^{(1)}]^5} = 0,$$

но это уравнение совпадает с уже рассмотренным выше уравнением (6), поэтому коэффициенты ряда (13) C_n суть коэффициенты A_n ряда (7):

$$C_1 = -\frac{1}{2} \alpha, \quad C_2 = -\frac{7}{8} \alpha^2, \quad C_3 = -\frac{5}{2} \alpha^3, \quad C_4 = -\frac{1105}{128} \alpha^4,$$

с единственным отличием в параметре α :

$$\alpha = \frac{1}{[Z_0^{(1)}]^5} = \left(\frac{3b^{\frac{3}{5}}P}{5a} \right)^{5/2}.$$

При известных коэффициентах C_n решение уравнения (12) относительно v_1 можно представить в виде:

$$v_1(P) = \sqrt[3]{\left(\frac{5a}{3bP} \right)^5} \left(1 + \sum_{n=1}^{\infty} C_n v^n \right)^3. \quad (14)$$

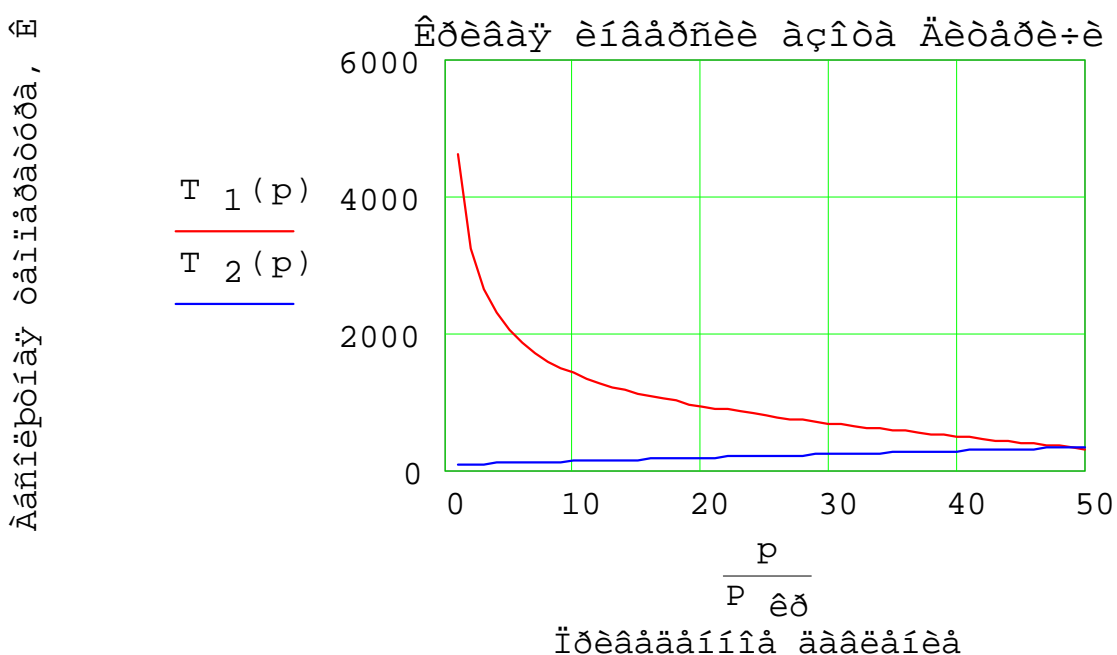


Рис.2. Кривая инверсии $T=T(P)$ процесса Джоуля-Томсона для газа Дитеричи: кривая 1- $T(p)$ по уравнению (8), кривая 2- $T(p)$ по уравнению (10).²

Следует отметить, что давление физически не может устремиться к нулю, т.к. кривая $v_1(P)$ пересечёт либо кривую сублимации, либо кривую насыщения.

Второе решение уравнения (12) будем искать вблизи второго корня $Z_0^{(2)}$ в виде следующего ряда по степеням малого параметра v :

$$Z_2 = Z_0^{(2)} \left(1 + D_1 v^{\frac{1}{3}} + D_2 v^{\frac{2}{3}} + \dots \right) = kv^{\frac{1}{3}} \left(1 + \sum_{n=1}^{\infty} v^{\frac{n}{3}} \right).$$

Но ряд этого вида с точностью до обозначений совпадает с решением уравнения (9), поэтому все коэффициенты D_{2n} совпадают с коэффициентами B_{2n} , если параметр β заменить на k :

$$D_2 = \frac{1}{3}k^5, D_4 = \frac{4}{9}k^{10}, D_6 = \frac{4}{9}k^{15}, \dots$$

но тогда второе решение уравнения (12) относительно удельного объёма примет вид

$$v_2(P) = \frac{8}{5}b \left(1 + \sum_{n=1}^{\infty} D_{2n} v^{2n/3} \right)^3, \quad v = \frac{8}{3}a^3 \sqrt{P^2}. \quad (15)$$

Соотнесем температуры T_a и T_b с решениями $v_1(P)$ и $v_2(P)$ соответственно, тогда, подставив в уравнение состояния Дитеричи $v_1(P)$ и заменив P давлением насыщения P_s , для температуры T_a можно получить следующую формулу:

$$T_a = \left(\frac{5}{3} \frac{a}{b} \right)^{\frac{3}{2}} \frac{1}{R_u \sqrt{P_s}}.$$

Подставив же решение $v_2(P)$ и устремив $P \rightarrow 0$, найдем температуру T_b :

$$T_b = \frac{3}{5} \left(\frac{5}{8} \right)^{\frac{5}{3}} \frac{a^3 \sqrt{b^2}}{R_u}.$$

Расчет по этому выражению приводит к значению $T_b \approx 1$ К для азота.

5. Представляет интерес сравнить результаты расчета инверсионной кривой на основе уравнения Дитеричи с результатами

расчета на основе уравнения ван-дер-Ваальса, а также опытными значениями.

Так, расчет по уравнению ван-дер-Ваальса приводит к следующим значениям критических параметров на кривой инверсии [2]: $P_{in/kp}^*/P = 9$, $T_{in/kp}^*/T = 3$. Эти же параметры рассчитанные по уравнению Дитеричи соответственно составляют 49,1 и 0,735, опытные данные (по азоту) приводят к значениям 11,2 и 2,48 [2]. Как видим, расхождение между опытными и расчетными значениями координат критической точки значительно расходятся друг с другом. В то же время опытные значения температур инверсионной кривой $T_1(1P_{kp}) = 116$, $T_2(5P_{kp}) = 130$ и $T_3(10P_{kp}) = 223$ К хорошо соответствуют тем же температурам газа Дитеричи $T_1(1P_{kp}) = 98$, $T_2(5P_{kp}) = 120$ и $T_3(10P_{kp}) = 214$ К, но лишь на ветви меньших температур. На ветви же больших температур имеет место значительное расхождение: а) опытные значения при указанных давлениях дают следующие температуры - 880, 516 и 393 К; б) расчет по уравнению Дитеричи - 4600, 2000 и 1400 К. Другое отличие обнаруживается в точках пересечения инверсионной кривой с осью давлений: опыт и уравнение ван-дер-Ваальса дают $T_a \approx 6,75 T_{kp} \approx 844$ К, то температура по уравнению Дитеричи приводит к $T_a \sim 1/P_s^{1/2} \rightarrow \infty$. Сравнение вторых точек пересечения инверсионной кривой с осью давлений даёт: опыт (газ ван-дер-Ваальса) $T_b \approx 0,75 T_{kp} = 94$ К, газ Дитеричи $T_b \approx 1$ К.

Следует отметить, что решение аналогичной задачи с использованием первого уравнения Дитеричи приводится в [4, задача 43], однако в преобразованиях допущена ошибка, что делает результаты неверными.

Сравнение расчета инверсионной кривой по уравнению Дитеричи с опытными данными позволяет сделать вывод о хорошем соответствии на левой ветви и при больших давлениях, на правой же ветви значения сильно расходятся.

Список использованной литературы

1. Базаров И.П. Термодинамика / М.: Высшая школа, 1976. - 447 С.
2. Кириллов В.А., Сычёв В.В., Шейндин А.Е. Техническая термодинамика / М.: Энергия, 1974. - 447 С.
3. Эльсгольц Л.Э. Дифференциальные уравнения и вариационное исчисление / М.: Наука, 1969. - 279 С.
4. Кубо Р. Термодинамика / М.: Мир, 1970. - 304 С.

Статья поступила в редакцию 12.10.99г.